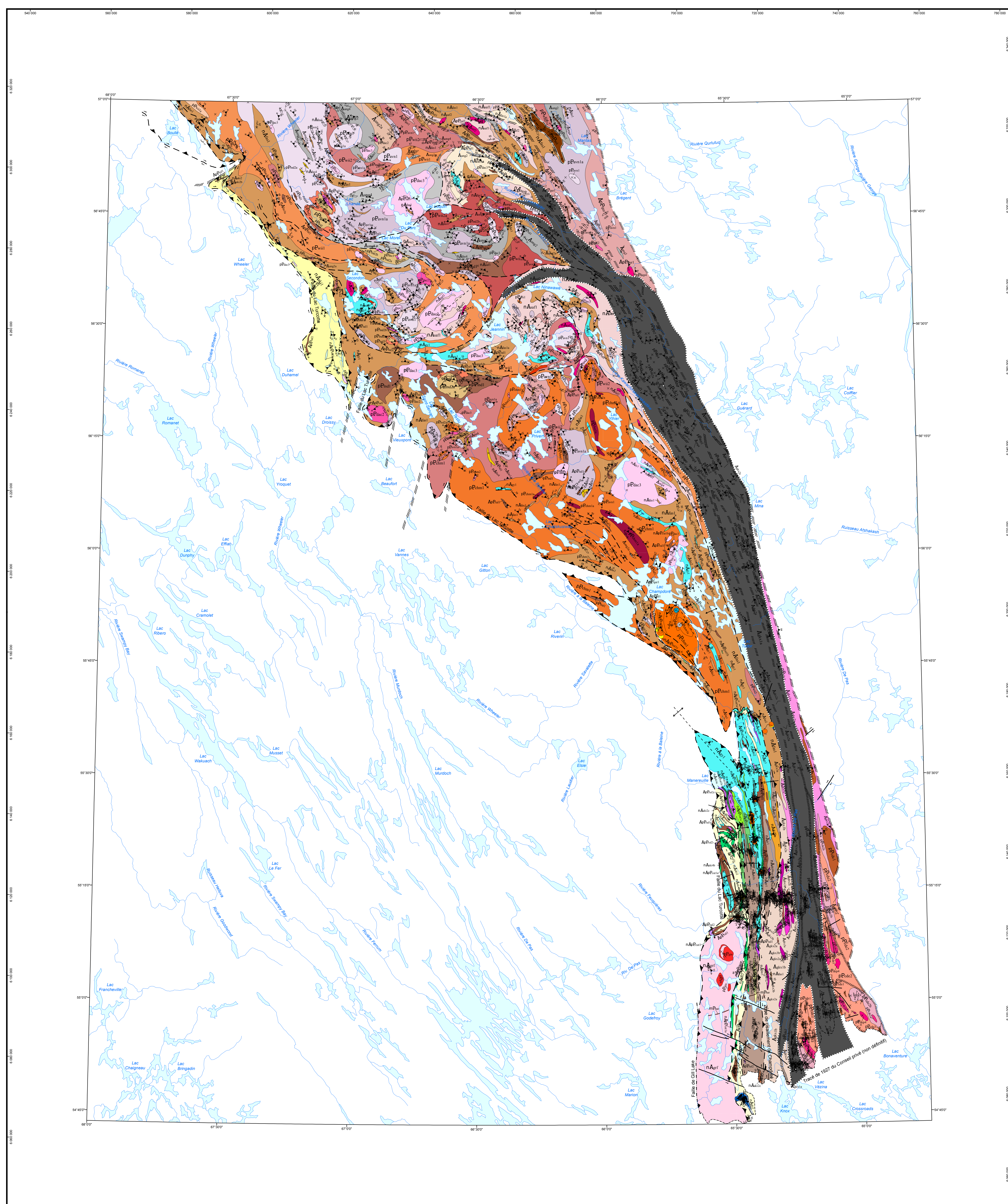


# Domaine lithotectonique de Baleine, sud-est de la Province de Churchill, Québec, Canada : synthèse de la géologie



## LEGENDE STRATIGRAPHIQUE

### PROVINCE DE CHURCHILL DOMAINE LITHOTECTONIQUE DE BALEINE

#### MESOPROTÉROZIQUE

- Dykes de Harp (1273 ± 1 Ma, Cadman et al., 1995)
  - Opale à olivine, ophitique, massif et à grain très fin à moyen
- Suite de Soisson (1312 ± 21 Ma, Corrigan et al., 2019)
  - Opale et joliette, tonale et gabbro-biotite subophitiques; un peu de monzonite subophitique
- Suite de Dancelou (179 à 1748 Ma)
  - Granite pegmatitique massif, à biotite-muscovite
  - Granite rose massif, à biotite-muscovite
- Gabbro du Potel
  - Gabbro et gabronnite massifs, équigranulaires et à grain moyen
- Suite d'Avenau (1917 ± 21 Ma, Davis et al., 2015)
  - Tonale et granite blancs, massifs à folies, à biotite
  - Tonale et granite blancs, hétérogènes, à schlierens de biotite et enclave variées
- Enderbis de Gamelin
  - Enderbis massive, à grain moyen à grossier, à biotite-orthopyroxéne
- Suite de Laroche (1834 ± 15 Ma, Rayner et al., 2017)
  - Opale, charnockite et monzonite quartefière, déformées et altérées
  - Pyroxéne et gabronnite mésocaracté, massifs et à grain moyen
  - Leucogabbro et monzonite quartefière massifs à peu folies, à biotite-hornblende
  - Diorite quartefière mésocaracté, folie et hornblende, à biotite-hornblende
  - Granulite et monzonite quartefière et monzogranite à phénocristaux de feldspath potassique, à biotite-hornblende
  - Diorite et métatexte stromatique, à biotite-grenat à sillimanite à symbole
  - Diorite homogène à structure porphyroïde, à biotite à hornblende
  - Diorite et métatexte stromatique, à biotite-hornblende
  - Diorite homogène à structure porphyroïde, à biotite à hornblende
  - Diorite homogène hétérogénie, à biotite à hornblende

#### SUPÉRIEURE DU PAS

- Suite de Pas
  - Leucogabbro, leucogranite, anorthosite et anorthose quartzifère
  - Opalite, enderbis et joliette à grain moyen à grossier
  - Opalite, joliette et manganite fortement magnétiques
  - Opalite et joliette à structure porphyroïde
  - Diorite à hypersthène, joliette et manganite à grain moyen à grossier
- Suite de la Faisceau du Pas (1862 à 1805 Ma)
  - Opalite et joliette à structure porphyroïde, à biotite à hornblende
  - Granodiorite et monzonodiorite quartefière à structure porphyroïde, à biotite à hornblende
  - Diorite quartefière, tonale et diorite homogènes, à biotite-hornblende
- Suite de Currot
  - Amphibolite folie, rubane, à grain à la moyenne, à hornblende à grenat
  - Amphibolite métacaracté à sphène-biotite-chlorite
  - Manganite, quartz et coquilles, métavolcanique à fragments de lave vésiculaire
  - Amphibolite métacaracté, manganite et quartz à grenat; métaprotolithe feldspath à intermédiaire, rubane, à biotite-biotite-hornblende
  - Amphibolite très finement grenu à sphénite, schistose, à hornblende-actinote à schistose de folie
- Complexe de Quirfutu (2324 à 2368 Ma, Augland et al., 2015; Corrigan, communication personnelle, 2018)
  - Esché magnétique de composition bimétallique, à structure stromatique, en radeau ou à schistose de folie
  - Pyroxénite et péropite amphibolites
  - Schiste ultramafique à amphibole-serpentine-talc
  - Leucogabbro à amphibole-carbonate-chlorite
  - Roches assises et cassées à tremolite-augite-fuchsite-plagioclase
  - Gabbro et diorite amphibolites, hornblende, granoblastiques, à hornblende-clinopyroxène-biotite
  - Gabbro et diorite amphibolites, hornblende, granoblastiques, à hornblende-grenat-clinopyroxène-biotite
- Suite de Ralieu
  - Pyroxénite et péropite amphibolites
  - Schiste ultramafique à amphibole-serpentine-talc
  - Leucogabbro à amphibole-carbonate-chlorite
  - Roches assises et cassées à tremolite-augite-fuchsite-plagioclase
  - Gabbro et diorite amphibolites, hornblende, granoblastiques, à hornblende-clinopyroxène-biotite

#### Suite de Grand Knob (2323 à 2319 Ma)

- Paragneiss et paragneiss rubane, à muscovite-biotite
- Metakarne homogène, metakarne lamination et metakarne conglomératique rubane, à muscovite-biotite-hématite-spectaculaire
- Quartz massif, granoblastique, à graine fin
- Rocche calcocarbonate et granoblastique
- Paragneiss migmatitique, granoblastique, rubane, à biotite à hornblende
- Paragneiss migmatitique, granoblastique, rubane, à biotite-grenat
- Rocche calcocarbonate rubane à actinote
- Marbre calcaire, marbre calcaire et marbre à tremolite
- Rocche calcocarbonate rubane à diopside; un peu de marbre
- Formation de fer à silicates et à oxydes; un peu de formation de fer à sulfures
- Paragneiss et paragneiss, rubane, granoblastiques, à graine fin, à biotite-muscovite
- Paragneiss à biotite-grenat à kyanite à sillimanite à staurolite
- Paragneiss et paragneiss rubane, granoblastiques, à graine fin, à biotite-muscovite
- Paragneiss et paragneiss rubane, granoblastiques, à graine fin, à biotite-muscovite-grenat
- Paragneiss migmatitique, homogène, granoblastique, à biotite-muscovite

#### Suite de Saffrey (2309 à 2305 Ma, Davis et al., 2017; Corrigan, communication personnelle, 2017)

- Syénite massive à peu folie, à magnétite-épidote à biotite-hornblende
- Granite rose homogène, massif à peu folie, à biotite-magnétite
- Monzonite quartefière folie, granoblastique, à biotite-magnétite-hornblende à schistose de folie
- Tonale, gneiss tonalitique, paragneiss, gabbro et gabronnite

#### Complexe de Knob (2323 à 2319 Ma)

- Tonale et granodiorite folies; un peu de granite et monzonite quartefière
- Enderbis et opale folies
- Diorite et gabro amphibolites
- Diorite à hypersthène et gabronnite granoblastiques
- Gneiss tonalitique à diopside quartefière; un peu de gneiss granitique
- Gneiss enderbis à diopside quartefière; un peu de gneiss opacite et manganite

#### Complexe d'Ungava (2359 à 2356 Ma)

- Gneiss granitique à biotite à hornblende
- Gneiss tonalitique à rubane blanches, folie, à biotite à amphibole
- Gneiss tonalitique à hornblende-biotite à clinopyroxène

## ZONE FAVORABLE À L'EXPLORATION MINIÈRE

- Cuivre
- Nickel
- Vanadium

## DOMAINE STRUCTURAL

- Zone de cisaillement

## INDICE ET GÎTE

- Argent, cuivre, manganite
- Nickel, ou vanadium

Cette carte géologique en format PDF comprend des calques (ou couches) qui regroupent les divers éléments du document : zones pétrologiques, hydrographie, affleurements, unités géologiques, structures, zones de cisaillement et zones de minéralisation dans la section « Calques » du Volet de navigation + d'Adobe Acrobat Reader 0.

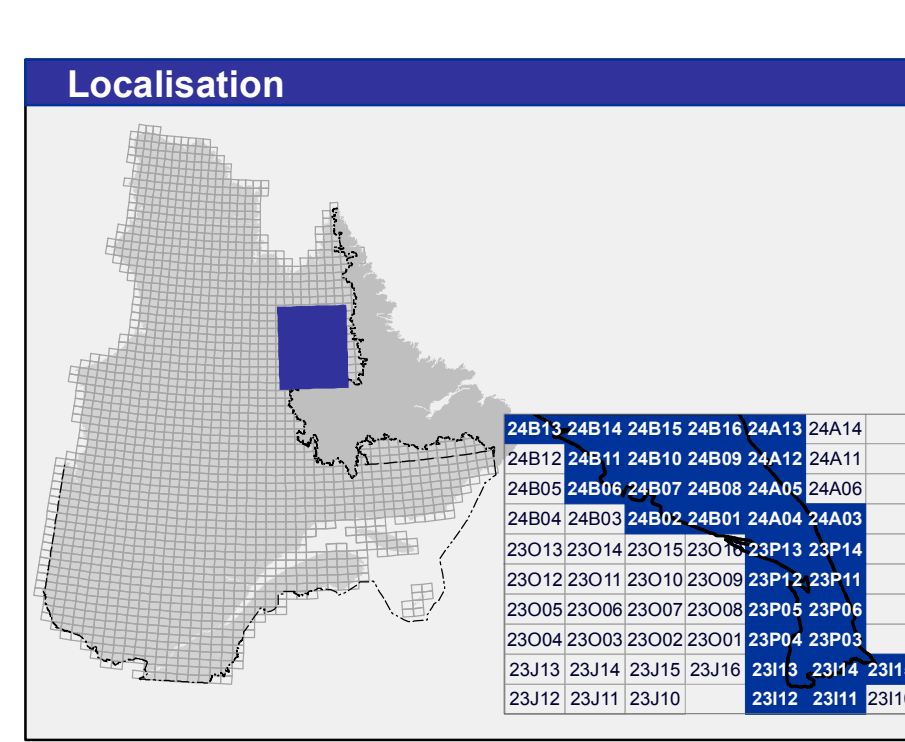
Les symboles et abbreviations utilisés sur cette carte sont décrits dans la publication 2014-09 du ministère de l'Énergie et des Ressources naturelles.

Carte du Bulletin géologique : <http://gq.mines.gouv.qc.ca/bulletins-géologiques/bulletin/baleine>

Pour obtenir les données les plus récentes concernant cette région, nous vous suggérons de consulter les produits géologiques du Système d'information géométrique du Québec (SIGeO).

Bulletin géologique  
Système d'information géométrique du Québec

Énergie et Ressources naturelles  
Québec



BG 2020-07-C02

Isabelle Lafrenière, Marc-Antoine Vanier, Benoît Charette (2017)

Géologie : Gréard, R. (1995) - MR 95-20

Hammouda, H. et al. (2011) - RG 2011-03

Lafrenière, I., Vanier, M. et al. (2011) - RG 2011-04

Lafrenière, I., Charette, B. (2015) - RG 2015-01

Simard, J. et al. (2015) - RG 2015-02

Simard, J. et al. (2015) - RG 2015-04

Assistance technique : Julie Savard-Gréard

Production : Ministère de l'Énergie et des Ressources naturelles

Direction générale de Géologie Québec

Diffusion : Ministère de l'Énergie et des Ressources naturelles

Direction d'Information géologique du Québec

Le présent document est à la vente chez les détaillants

© Gouvernement du Québec, 3<sup>me</sup> trimestre 2020